

## تأثیر دوره‌ی پخت لایه‌های $Ti$ کندوپاش شده بر خواص اپتیکی و بلورینگی لایه‌های نازک



آستین چپ، بندر<sup>۱</sup>؛ مرادیان، رستم<sup>۲</sup>؛ غلامی لعل آبادی، کاتایون<sup>۲</sup>

<sup>۱</sup> گروه فیزیک، دانشکده علوم، دانشگاه کردستان، سنندج

<sup>۲</sup> گروه فیزیک، دانشکده علوم، دانشگاه رازی، کرمانشاه

### چکیده

در این تحقیق لایه‌ی نازک دی اکسید تیتانیم با اکسید کردن گرمابی لایه‌های  $Ti$  لایه‌نشاری شده روی شیشه به دست آمد (۴ دوره در ۵۰۰ درجه برای ۳ ساعت)، لایه‌های تیتانیوم به روش کندوپاش با توان ۶۰۰ وات در ۱۵ دقیقه لایه‌نشاری شد. ضخامت لایه‌های اکسیدی ایجاد شده در هر مرحله از اکسید گرمابی با استفاده از طیف اپتیکی به روش سوانپل اندازه‌گیری و محاسبه شد. پارامترهای اپتیکی همچون ضریب شکست و گاف انرژی اپتیکی لایه‌های  $TiO_2$  ایجاد شده مورد مطالعه قرار گرفت. بمنظور بررسی پارامترهای اپتیکی از آنالیز UV-Vis UV-Vis استفاده شد. همچنین جهت بررسی ریخت شناسی سطح لایه، میکروسکوپ نیروی اتمی مورد استفاده قرار گرفت و از آن زیری سطح بدست آمد. نتایج نشان داد که با افزایش مرحله پخت، لایه‌های اکسیدی در طول موج های مرئی و فرابنفش شفاف تر و ضریب شکست بیشتر شد، درحالیکه در گاف انرژی تعییری مشاهده نشد.

### Effect of annealing periods of sputtered Ti layers on optical and crystallinity properties of $\text{TiO}_2$ thin films

Astinchap, Bandar<sup>1</sup>; Moradian, Rostam<sup>2</sup>; Gholami laelabadi, Katayon<sup>2</sup>

<sup>1</sup> Department of physics, Faculty of sciences, University of kurdistan, Sanandaj

<sup>2</sup> Department of physics, Faculty of science, Razi University, Kermanshah

### Abstract

In this study titanium oxide thin films are synthesized by thermal oxidation of deposited Ti layers on glass substrates (4 periods at 500 °C for 3 h). Titanium layers are prepared by sputtering power of 600w at 15 min. Thickness of oxidized layers was measured and calculated by optical spectra and Swanepoel's method. The optical parameters such as refractive index ( $n$ ) and band gap energy ( $E_g^{opt}$ ) of  $\text{TiO}_2$  thin films are studied. Spectrums of UV-Vis analysis are used to study optical parameters. The surface morphology of layers was investigated by AFM and the roughness is obtained. The results show that transmittance and refractive index increases in visible and infrared regions with increasing annealing step, but band gap energy isn't changed.

PACS No. 70

نازک  $\text{TiO}_2$  سبب کاربرد آن در طراحی وسایلی همچون: سلول‌های خورشیدی [۱]، باتری‌های لیتیومی [۱]، لایه‌های ضد بازتاب [۲] و فتوکاتالیست‌ها [۱] می‌شود. دی اکسید تیتانیم دارای سه فاز بلورینگی آناتاز، روتیل و بروکیت است. فاز آناتاز در لایه نازک معمولاً در دمای زیر ۶۰۰°C شکل می‌گیرد و فاز روتیل در

### مقدمه

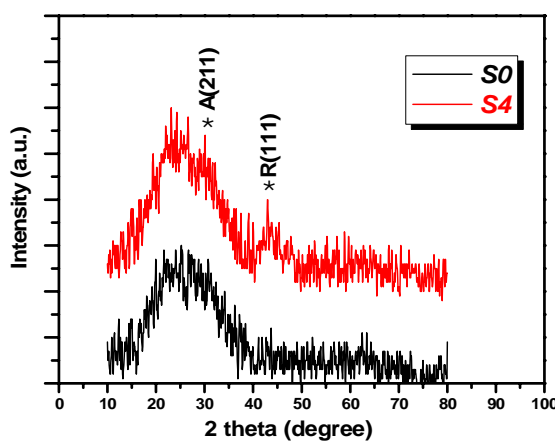
دی اکسید تیتانیم یکی از پرکاربردترین اکسیدهای فلزی است که لایه نازک آن دارای ضریب شکست بالا (بیشتر از ۲)، گاف انرژی اپتیکی پهن و پایداری فوق العاده است که میتواند بعنوان فتوالکترود بسیار مفید واقع شود. خواص اپتیکی منحصر بفرد لایه

یونیزه شستشو و در آون خشک شد. لایه‌ی تیتانیم ابافت شده (نمونه‌ی S0) در دمای  $500^{\circ}\text{C}$  و در ۴ دوره‌ی ۳ ساعته در کوره با اتمسفر هوای حرارت داده و اکسید شد (دوره‌های ۱ تا ۴ بترتیب نمونه‌های S1 تا S4 هستند).

در این تحقیق تعیین ساختار بلورینگی نمونه‌ها از آنالیز XRD انجام شد. مطالعات اپتیکی نیز با استفاده از طیف‌های بدست آمده از دستگاه طیف سنجی مرئی-فرابنفش (UV-Vis) ساخت کشور راپن صورت گرفت و ریخت‌شناسی سطوح توسط میکروسکوپ نیروی اتمی (AFM) ساخت کشور سویس تعیین گردید.

## نتایج و بحث

در مشاهدات اولیه پس از پخت نمونه، لایه‌ی فلزی کدر و برآق تیتانیم شفاف شد که این تغییر بیانگر اکسید شدن این لایه و تشکیل ساختار نیمرسانای دی اکسید تیتانیم است. در شکل ۱، طیف‌های XRD لایه تیتانیم (S0) و نمونه‌ی S4 نشان داده شده است. مشاهده می‌شود که لایه تیتانیم بصورت آمورف روی شیشه ابافت شده است و با پخت نمونه و اکسید شدن کامل لایه، بلورهای اکسیدی شکل گرفته‌اند. شکل بلورینگی لایه نازک دی اکسید تیتانیم بصورت تتراگونال است که در فازهای ترکیبی آناتاز و روتیل متبلور شده است. در این روش فاز روتیل در دمای  $500^{\circ}\text{C}$  شکل گرفته است در حالیکه عموماً در دماهای بالاتر از  $700^{\circ}\text{C}$  شکل می‌گیرد [۴].



شکل ۱: طیف XRD لایه‌های نازک دی اکسید تیتانیم.

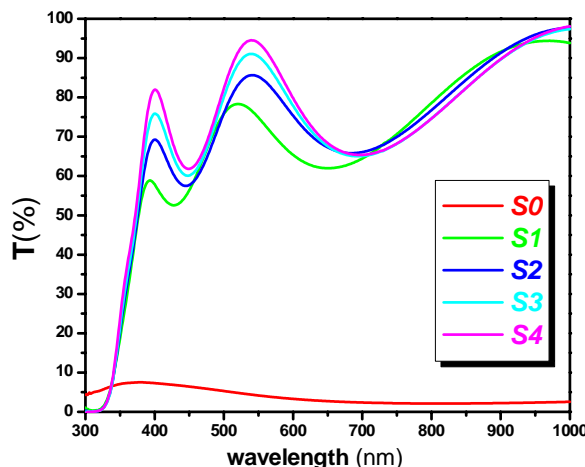
حدود دمای  $800^{\circ}\text{C}$  ایجاد می‌شود. فاز روتیل نسبت به آناتاز از لحاظ ترمودینامیکی در حدود  $1/2-2/8$  کیلوکالری بر مول پایدارتر است [۱]. فاز بلوری روتیل ضربی شکست بالایی دارد پس توانایی پراکنندگی نوری نیز در آن بیشتر است. لایه نازک روتیل، ماده‌ی مناسبی برای تفکیک سازی خون است و می‌تواند در زمینه‌ی پژوهشی مفید واقع شود [۳]. آناتاز نسبت به روتیل پایداری کمتری دارد اما فعالیت نوری آن بیشتر است و در زمینه‌ی حفاظت از محیط زیست کاربرد فراوان دارد [۴].

لایه نازک دی اکسید تیتانیم به روش‌های مختلف فیزیکی و شیمیابی تهیه می‌شود [۱]. در این تحقیق از طریق اکسید کردن لایه‌ی نازک Ti فلزی که به روش کندوپاش لایه نشانی شده است، لایه‌ی نازک دی اکسید تیتانیم تهیه شد. روش کندوپاش بدلیل تشکیل لایه‌های یکنواخت با ناخالصی کمتر، چگالی بیشتر و چسبندگی بهتر به زیر لایه، یکی از مناسب‌ترین روش‌های لایه نشانی است. با توجه به اهمیت و تاثیر ضخامت لایه اکسیدی در ویژگی‌های اپتیکی  $\text{TiO}_2$ ، با حرارت دادن لایه‌ی نازک Ti در دمای  $500^{\circ}\text{C}$  در هوا، ضخامت‌های مختلف از لایه‌ی نازک  $\text{TiO}_2$  بدست آمد و با استفاده از فریزهای تداخلی که در طیف عبور مشاهده شد، محاسبه گردید.علاوه بر این مورفوولوژی سطح، شکل گیری ساختار بلوری و پارامترهای اپتیکی همچون ضربی شکست (n) و گاف انرژی اپتیکی ( $E_g^{op}$ ) نیز مورد بررسی قرار گرفتند.

## مواد و روش آزمایش

انبافت لایه‌های تیتانیم روی زیرلایه شیشه‌ای با استفاده از تارگت تیتانیم با قطر  $10\text{ mm}$  میلی‌متر و ضخامت  $3\text{ mm}$  میلی‌متر توسط دستگاه کندوپاش مغناطیسی-امواج رادیویی ساخت کشور فرانسه (دستگاه لایه نشانی VAS) صورت گرفت. لایه‌ی نازک تیتانیم در توان  $600\text{ W}$  و در مدت  $15\text{ s}$  تهیه شد. لایه شیشه‌ای به ابعاد  $25\text{ mm} \times 5/12\text{ mm} \times 1\text{ mm}$  تهیه شد. لایه نشانی در دمای اتاق و تحت گاز آرگون انجام شد و نیز پلاسمای بهینه در فشار ثابت  $2/0\text{ mbar}$  بار رخ داد. زیرلایه‌ی شیشه‌ای قبل از لایه نشانی ابتدا در محلول‌هایی از استون و اتانول در ۴ مرحله ۱۵ دقیقه‌ای در دستگاه فرآصوت تمیز شد. سپس با آب دی

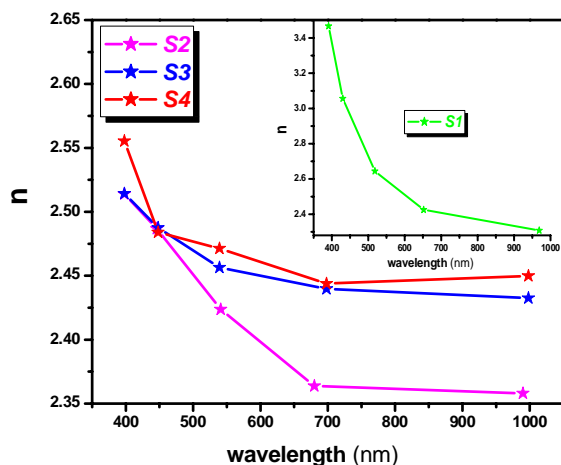
نمونه  $S1$  ضریب شکست نسبت به بقیه نمونه ها بیشتر است (در محدوده  $2/4-3/4$ ) زیرا لایه کاملا اکسید نشده و لایه  $S4$  با ترکیب فلز-نیمرسانا است. در نمونه های  $S2$ ,  $S3$  و  $S4$  تغییرات ضریب شکست در محدوده  $2/5$  تا  $2/3$  است.



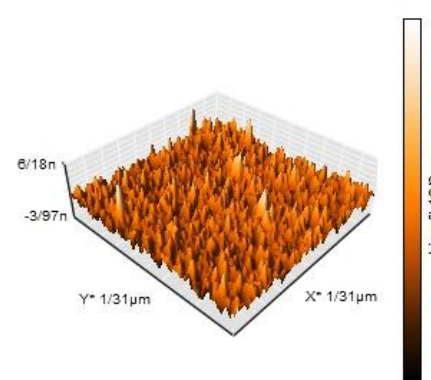
شکل 3: طیف عبور لایه نازک تیتانیم در دوره های اکسید شدن.

جدول 1: ضخامت و گاف انرژی اپتیکی لایه نازک تیتانیم در دوره های پخت.

نمونه	$S1$	$S2$	$S3$	$S4$
ضخامت (nm)	155	249	254	255
گاف انرژی اپتیکی (eV)	3/17	3/22	3/22	3/22



شکل 4: ضریب شکست لایه های نازک دی اکسید تیتانیم.



شکل 2: تصویر AFM لایه نازک.

از شکل 2، تصویر مربوط به آنالیز AFM، زبری سطح برای لایه نازک  $0/78$  نانومتر بدست می آید و از آن یکنواختی سطح بوضوح قابل مشاهده است.

منحنی های عبور برحسب طول موج ( $T(\lambda)$  برای نمونه ها در شکل 3 نشان داده شده است. همانطور که از طیف های عبور نمایان است لایه تیتانیم کندوپاش شده دارای کمترین عبور در نزدیکی صفر است که این ناشی از جذب بالای نور در لایه فلزی Ti است. با حرارت دادن و اکسید شدن لایه تیتانیم، لایه اکسیدی شفاف ایجاد می شوند. همچنین فریزهای تداخلی در ناحیه ای طول موج های مرئی و فروسرخ پدیدار می شوند که با توجه به ضخامت و ضریب شکست بالای آنها قبل انتظار است. مشاهده می شود که تعداد فریزهای ثابت اند و دوره ای پخت روی شفافیت لایه اثر دارد و آن را شفاف تر می کند.

در جدول 1 تغییرات ضخامت لایه ای اکسیدی تیتانیم در حین پخت و نفوذ اکسیژن در لایه تیتانیم انباشت شده آورده شده است. این ضخامت ها از روی فریزهای تداخلی تشکیل شده در طیف عبور و با روش سوانپل محاسبه شده اند [5]. در ضخامت های محاسبه شده برای نمونه های  $S4$  به  $S3$  تغییر قابل ملاحظه ای دیده نمی شود یعنی لایه کاملا اکسید شده است.

در شکل 4 تغییرات ضریب شکست در حین پخت و تشکیل لایه اکسیدی آورده شده است. این طیف ها با استفاده از طیف عبور در ناحیه ای شفاف و به روش سوانپل محاسبه شده اند [5]. برای

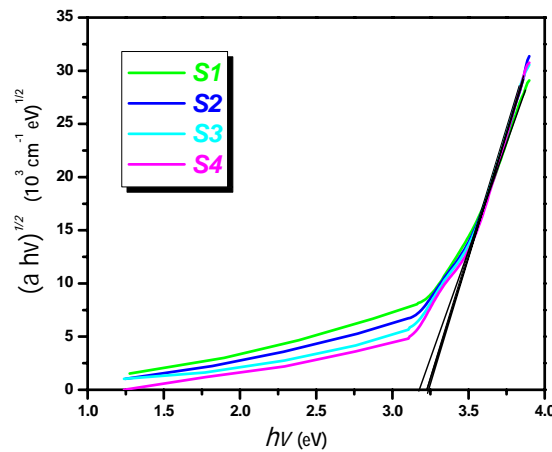
## نتیجه گیری

در این مطالعه با پخت لایه‌ی تیتانیم کندوپاش شده در ۴ دوره ۳ ساعت و دمای  $500^{\circ}\text{C}$ ، لایه‌های از دی اکسید تیتانیم در ضخامت‌های مختلف تهیه گردید. ضخامت لایه‌های اکسیدی از طفیل عبور و به روش سوانپل بدست آمد. با افزایش مراحل پخت ضخامت لایه‌ی فلزی تیتانیم کاهش و بر ضخامت لایه‌ی اکسیدی افزوده شد که نتیجه‌ی آن افزایش شفافیت لایه بود. لایه تیتانیم بصورت آمورف لایه نشانی شد و با پخت آن، دی اکسید تیتانیم در فازهای بلورینگی آناتاز و روتیل رشد کرد. یکی از پارامترهایی که در ساخت لایه‌های اپتیکی بسیار اهمیت دارد، ضریب شکست لایه‌ی نازک است که در اینجا بسته به ضخامت در محدوده‌ی  $2/3$  تا  $3/4$  بدست آمد. گاف انرژی اپتیکی لایه اکسیدی مطابق با فاز بلوری رشد یافته و در حدود گاف فاز آناتاز مشاهده شد. لازم به ذکر است که در این روش بسادگی و بدون نیاز به کپسول اکسیژن یا آرگون+اکسیژن لایه‌های  $\text{TiO}_2$  یکنواخت با ضخامت، گاف انرژی و ضریب شکست دلخواه، با استفاده از تارگت تیتانیم تهیه شد. همچنین این روش امکان تهیه لایه‌ای ترکیبی از دو لایه  $\text{Ti}$  و  $\text{TiO}_2$  را با ضخامت دلخواه و کنترل شده فراهم می‌آورد.

## مرجع‌ها

- [1] M. Yang; "Band Gap Engineering and Carrier Transport in  $\text{TiO}_2$  for Solar Energy Harvesting"; University of Pittsburgh, China, (2012).
- [2] S.Y. Lien and D.S. Wuu; "Tri-Layer Antireflection Coatings ( $\text{SiO}_2/\text{SiO}_2-\text{TiO}_2/\text{TiO}_2$ ) for Silicon Solar Cells Using a Sol-Gel Technique"; *Sol. Energy Mater. Sol. Cells.* **90**, (2006) 2710-2719.
- [3] F. Zhang and N. Huang; "Blood Compatibility of Titanium-Oxide Prepared by Ion-Beam-Enhanced Deposition"; *Surface & coatings technology* **84**, (1996) 476-479.
- [4] S.C. Jung and B.H. Kim; "Characterization of A  $\text{TiO}_2$  Photocatalyst Film Deposited by CVD and Its Photocatalytic Activity"; *Chem. Vap. Deposition* **11**, (2005) 137-141.
- [5] R. Swanepoel; "Determination of the thickness and optical constants of amorphous silicon"; *J. Phys. E: Sci. Instrum* **16**, (1983) 1214-1222.
- [6] I. Sta and M. Jlassi; "Structural and Optical Properties of  $\text{TiO}_2$  Thin Films Prepared by Spin Coating"; *Journal of Sol-Gel Science and Technology* **72**, (2014) 421-445.
- [7] J . Tauc; "Optical Properties and Electronic Structure of Amorphous Ge and Si"; *Material Research Bulletin* **3**, (1968) 37-46.

همچنین با افزایش دوره ای پخت ضریب شکست بیشتر می‌شود زیرا با نفوذ اکسیژن، ضخامت لایه اکسیدی بیشتر شده و بنابراین شکست نور در آن زیادتر است که چنین رفتاری برای ضریب شکست قبل از مشاهده شده است [6]. در ناحیه جذبی ضریب شکست را نمی‌توان بدست آورد زیرا مطابق شکل ۳ عبوری رخ نمی‌دهد.



شکل ۵: نمودار  $(ahv)^{2/1}$  بر حسب  $h\nu$  برای لایه‌های نازک دی اکسید تیتانیم.

لبه جذب  $\text{TiO}_2$  در ناحیه‌ی طول موج‌های فرابنفش است و می‌توان با استفاده از معادله Tauc [7] بصورت معادله ۱ و رسم نمودار  $(ahv)^{2/1}$  بر حسب انرژی فوتون، گاف انرژی اپتیکی را محاسبه کرد. مقدار  $E_g^{opt}$  با برونویابی بخش خطی این منحنی در محل قطع محور  $h\nu$  در نقطه‌ای که  $(ahv)^{2/1} = 0$  است، تعیین می‌شود. این نمودار برای نمونه‌ها در شکل ۵ رسم شده است و مقدار گاف انرژی اپتیکی آنها در جدول ۱ آورده شده است.

$$ahv = A(h\nu - E_g^{opt})^2 \quad (1)$$

از مقادیر گاف انرژی اپتیکی مشاهده می‌شود که با کامل شدن لایه اکسیدی، محدوده‌ی انرژی ممنوعه ثابت و برابر  $3/22$  الکترون ولت است که با طیف XRD نیز مطابقت دارد و به مقدار گاف فاز بلوری آناتاز نزدیک است. از آنجاییکه لبه جذب به طول موج نور فروودی وابسته است، با توجه به شکل ۳ آشکار است که در نمونه‌های S2 تا S4 لبه جذب بدون تغییر و در طول موج حدود ۴۰۰ نانومتر رخ نمی‌دهد.